



# Exploitation des performances d'un robot sériel en vue d'une numérisation

#### **BORDRON Matthias**

LURPA, École Normale Supérieure (ENS) Cachan, France

Journée des Jeunes Chercheurs en Robotique Mardi 07 novembre 2017

Encadrement :
Bruneau Olivier
Mehdi-Souzani Charyar

### **Contexte**







#### **Contexte**



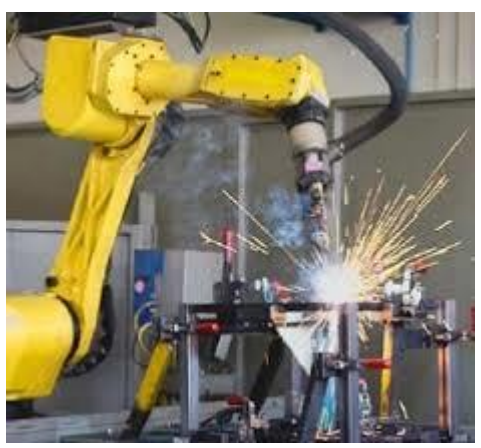
- Réorientation avec 6ddl, grand volume de travail
   -> accessibilité
- Numérisation de pièces encombrantes ou complexes
- intégration sur chaine de production



#### **Contexte**



- Réorientation avec 6ddl, grand volume de travail
   -> accessibilité
- Numérisation de pièces encombrantes ou complexes
- intégration sur chaine de production





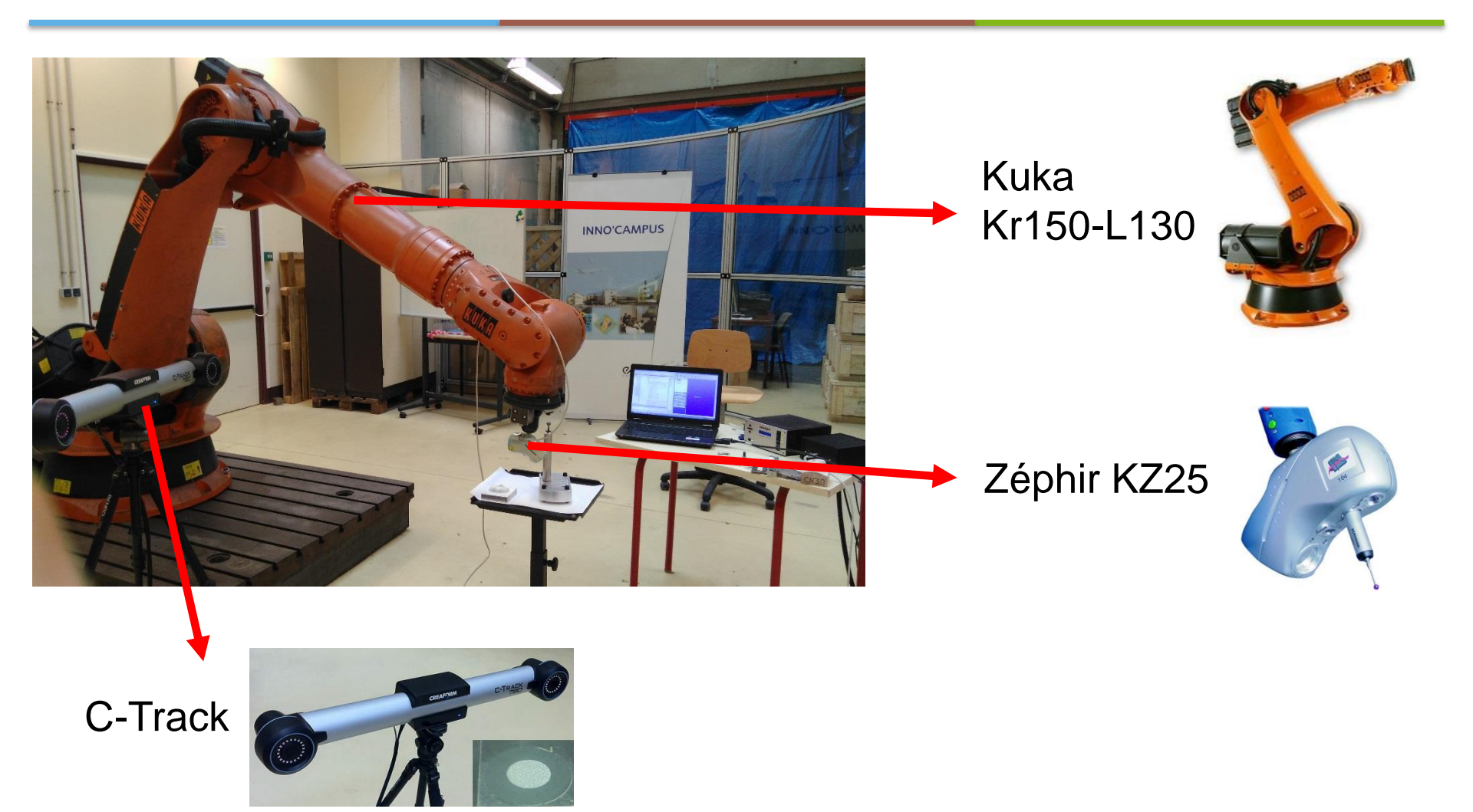


#### Cellule de mesure robotisée





#### Cellule de mesure robotisée

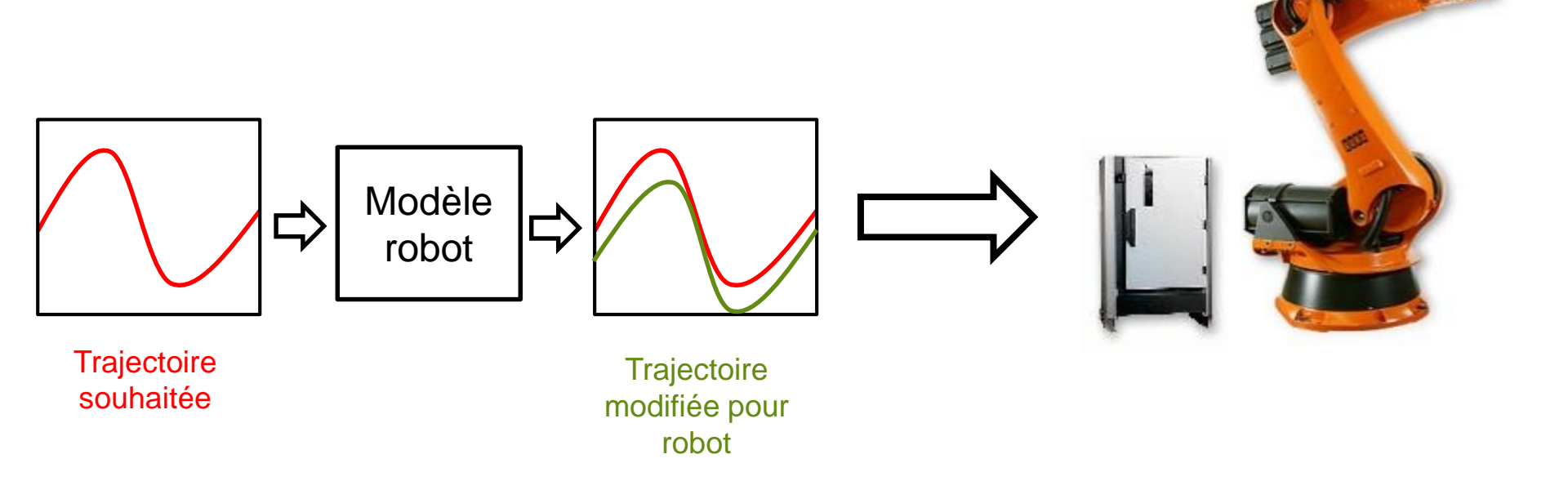




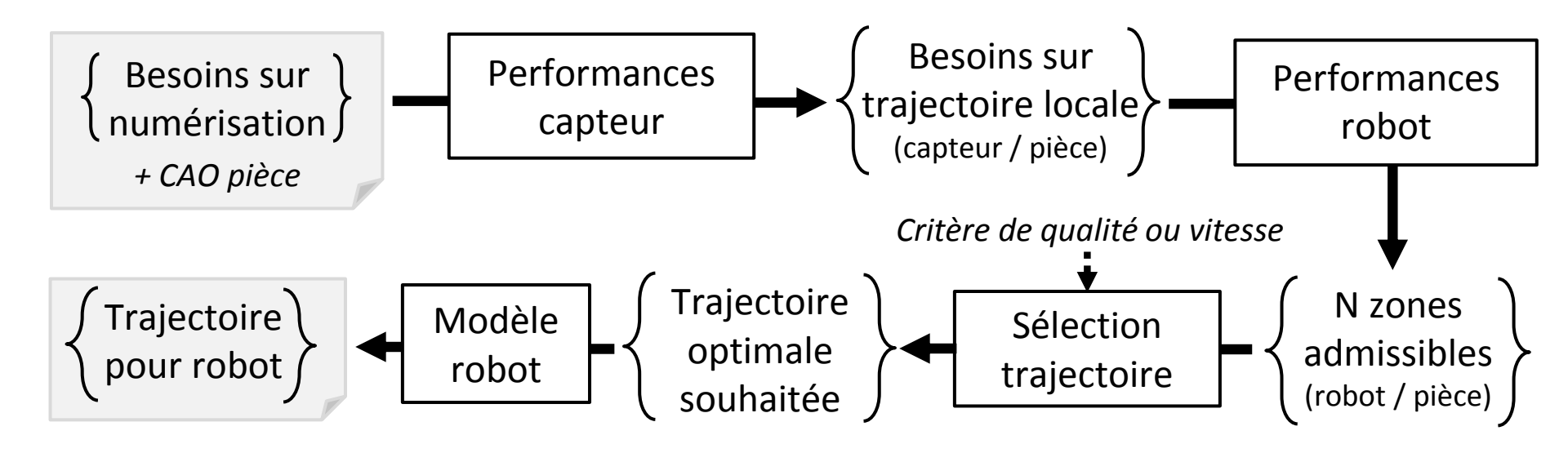
**Trajectoire** 

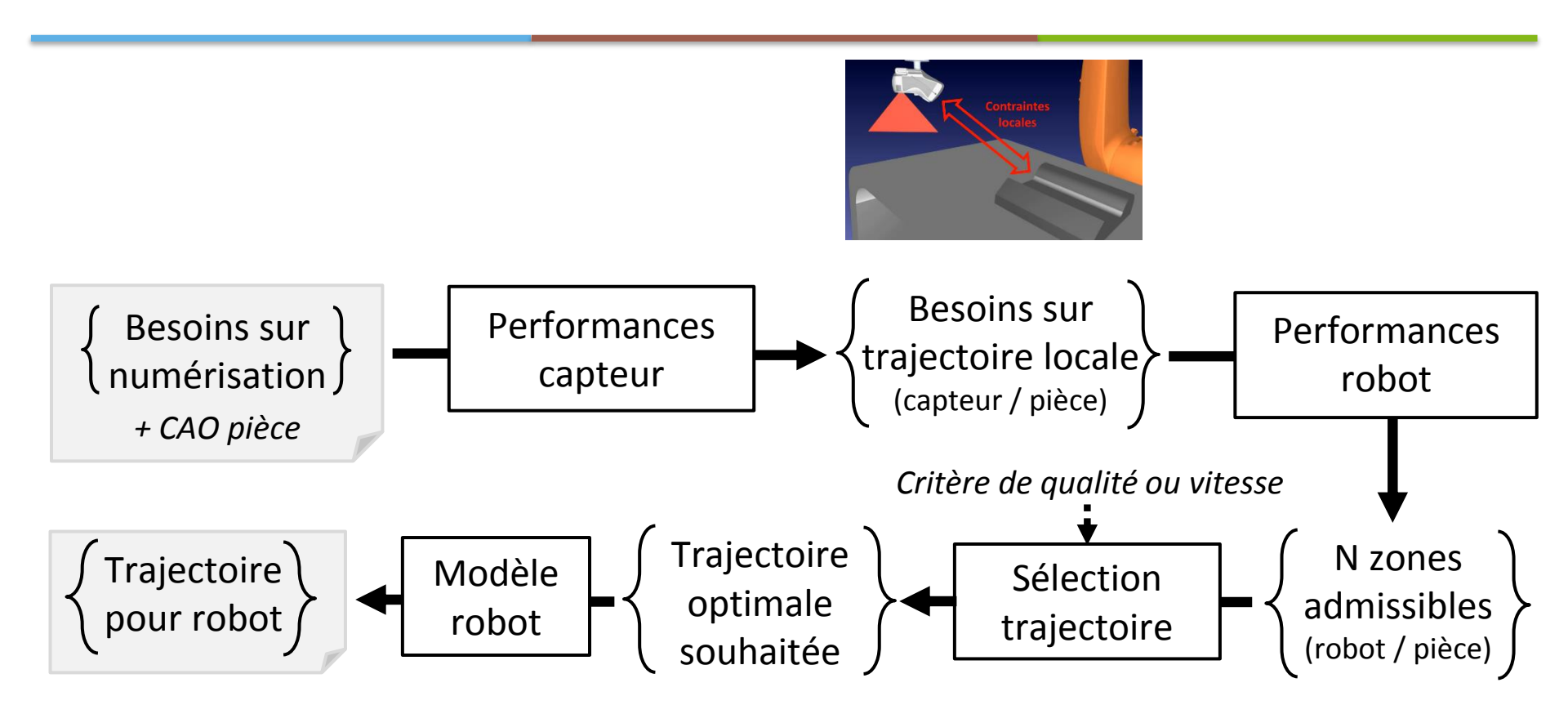




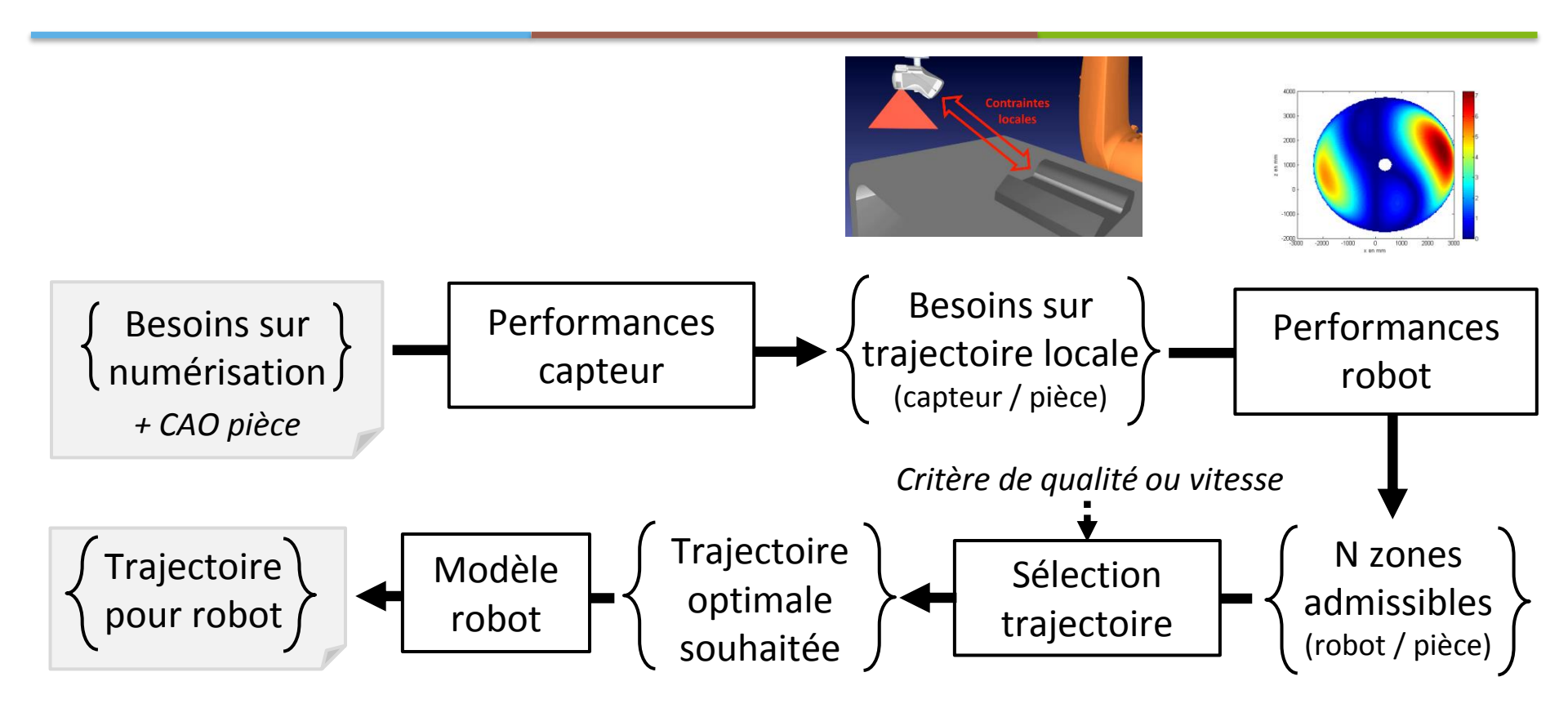








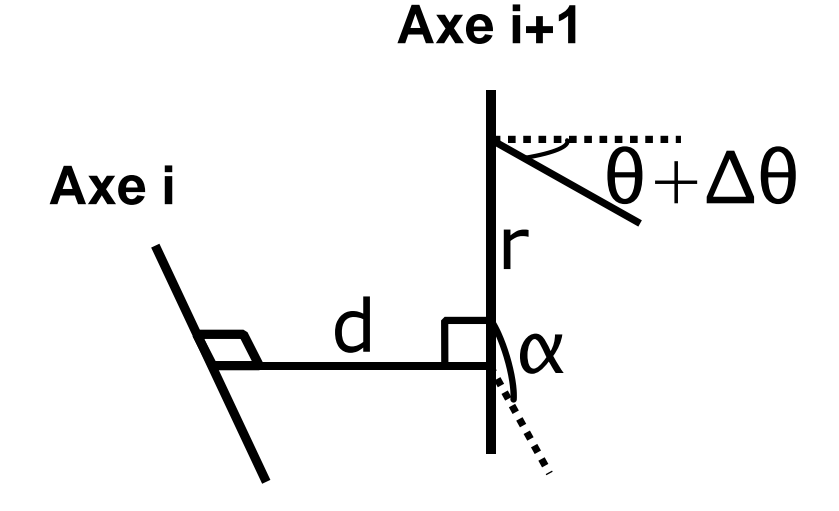




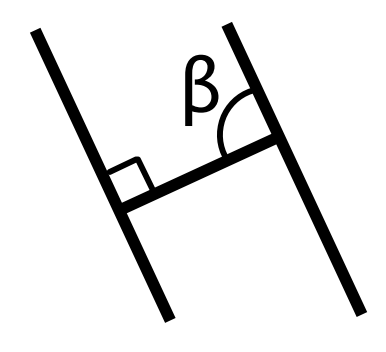


### Modèle élasto-géométrique

### Partie géométrie : DH modifié



Modélisation entre 2 axes

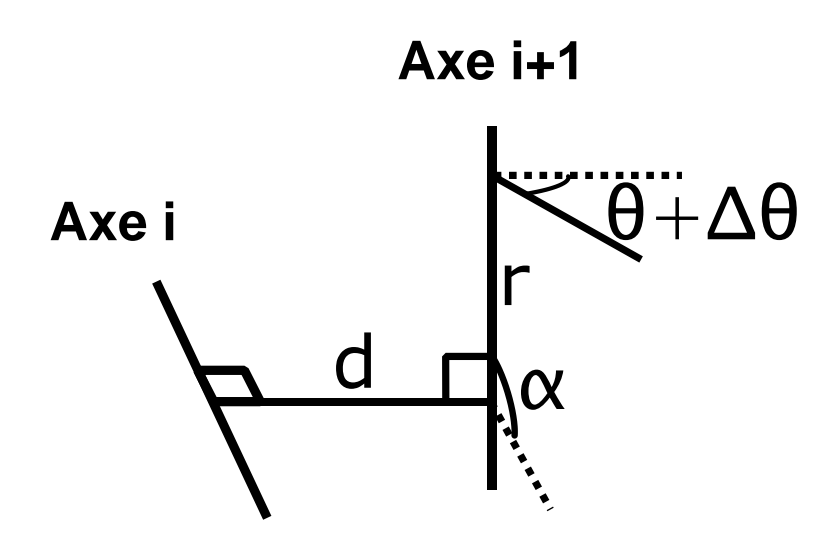


Si axes parallèles, paramètre de Hayati

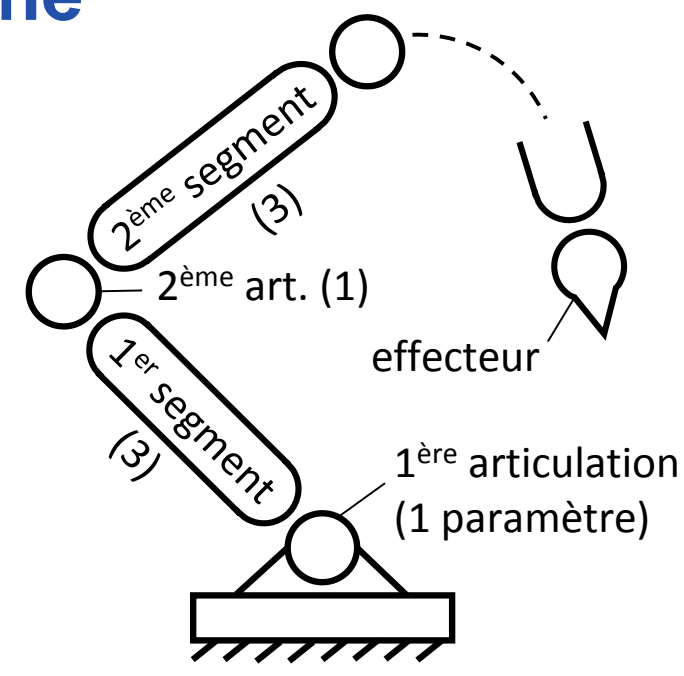


### Modèle élasto-géométrique

Partie géométrie : DH modifié



Modélisation entre 2 axes



#### Modélisation d'un robot

 $T_{base}.T_{articulation1}.T_{segment1}.T_{articulation2}.$   $T_{segment2}...T_{effecteur} = T_{robot}$ 



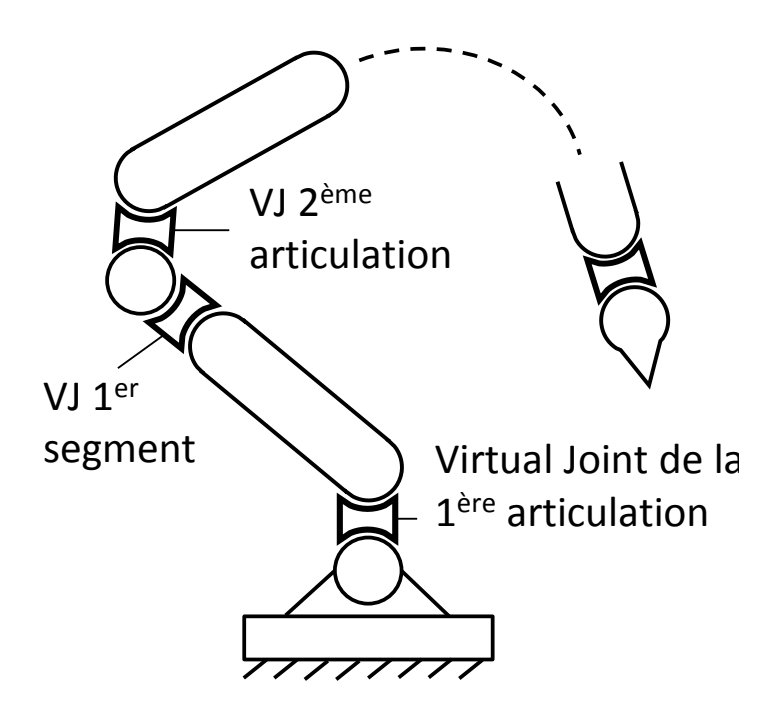
### Modèle élasto-géométrique

### Partie élasticité et jeux : liaisons virtuelles

6 paramètres pour segment (modèle poutre)

8 paramètres pour articulation (norme ISO 230-1)

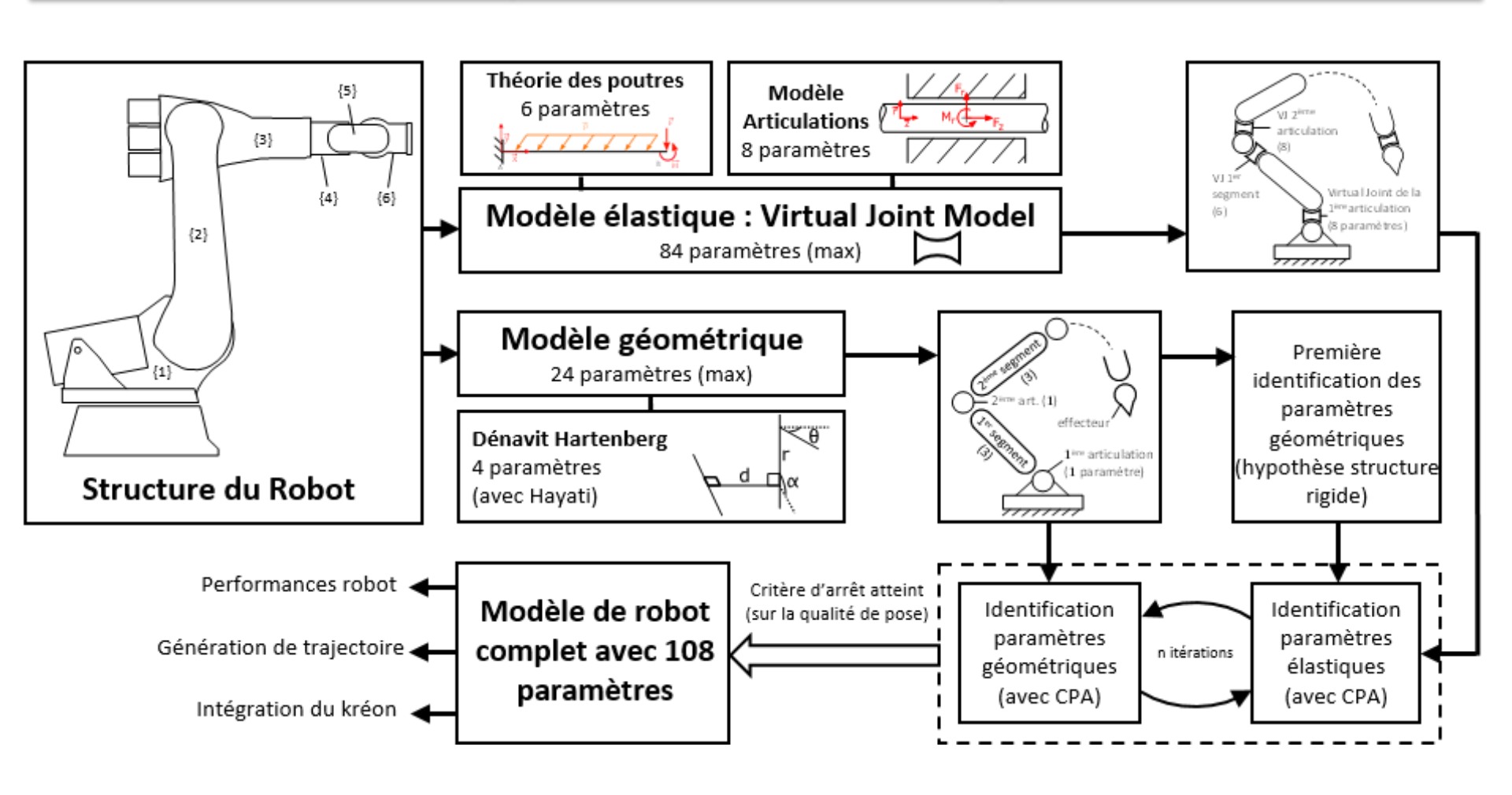
 $\rightarrow T_{liaisonVirtuelle}$ 



 $T_{base}$ .  $T_{articulation1}$ .  $T_{artVirtuelle1}$ .  $T_{segment1}$ .  $T_{segmvirtuel1}$ .  $T_{articulation2}$ .  $T_{artVirtuelle2}$ .  $T_{segment2}$  ...  $T_{effecteur} = T_{robot}$ 

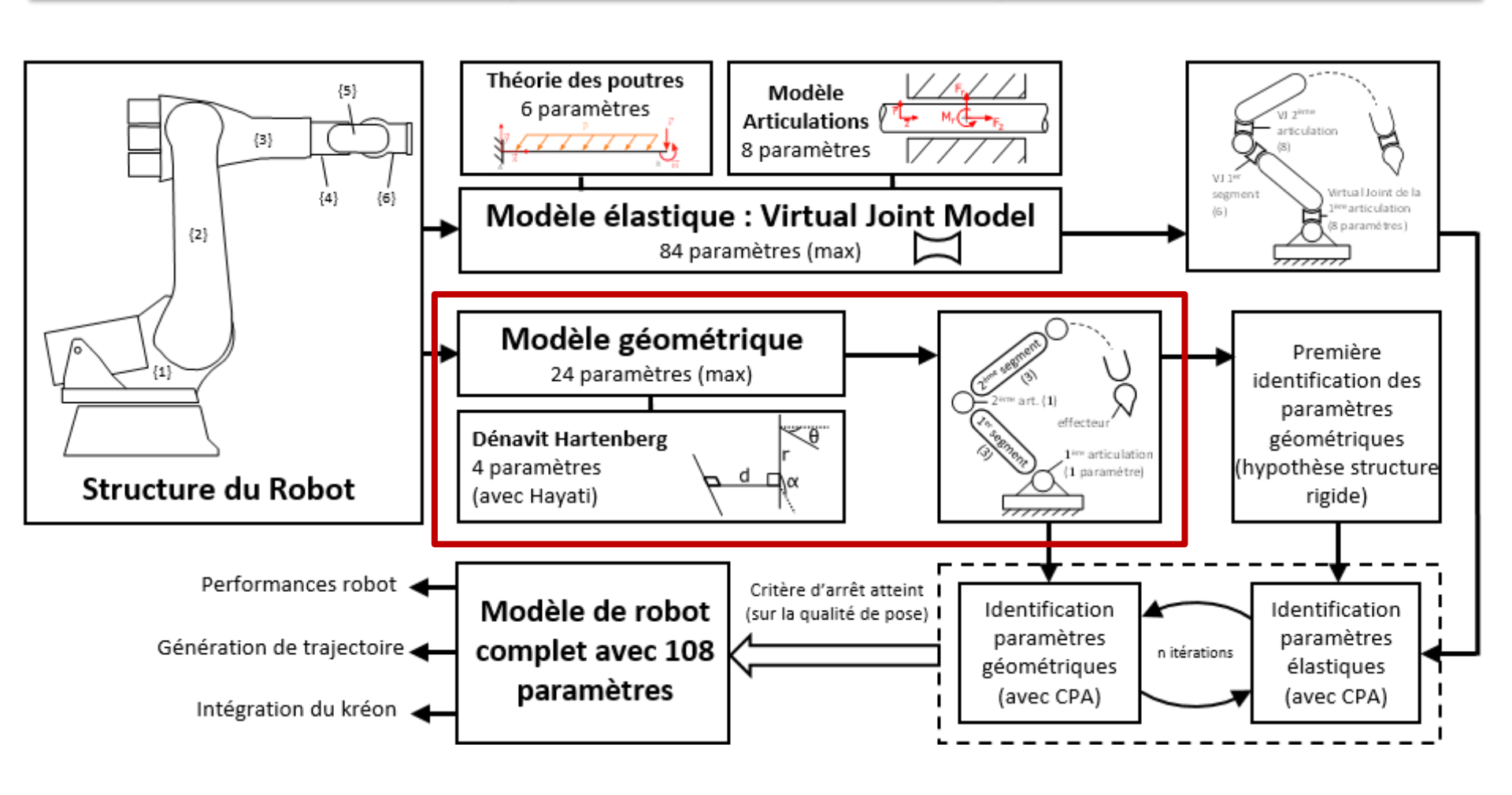


#### Modélisation et identification



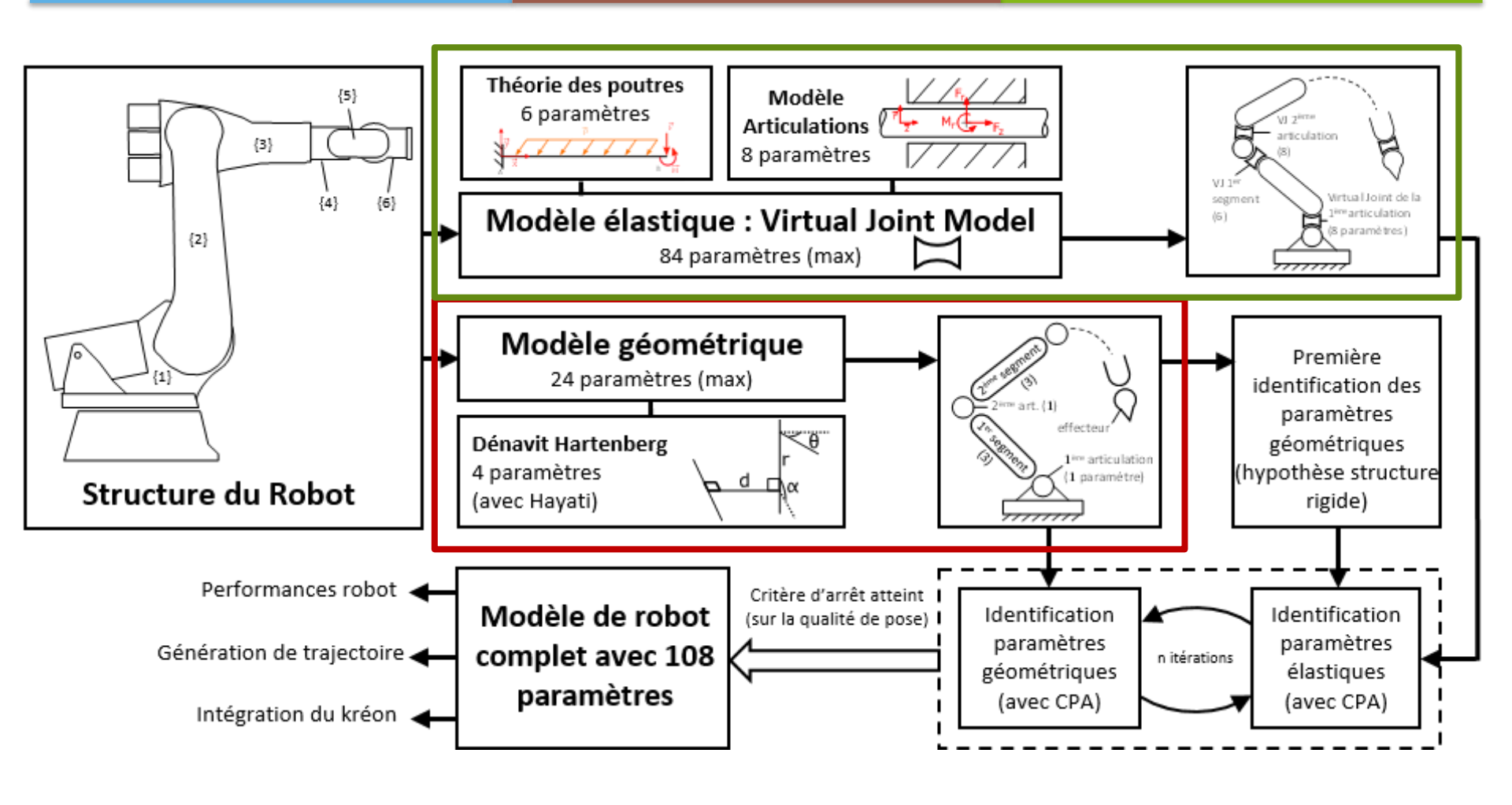


#### Modélisation et identification





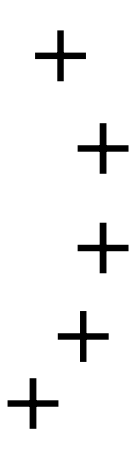
#### Modélisation et identification





### Méthode CPA: Circle Point Analysis

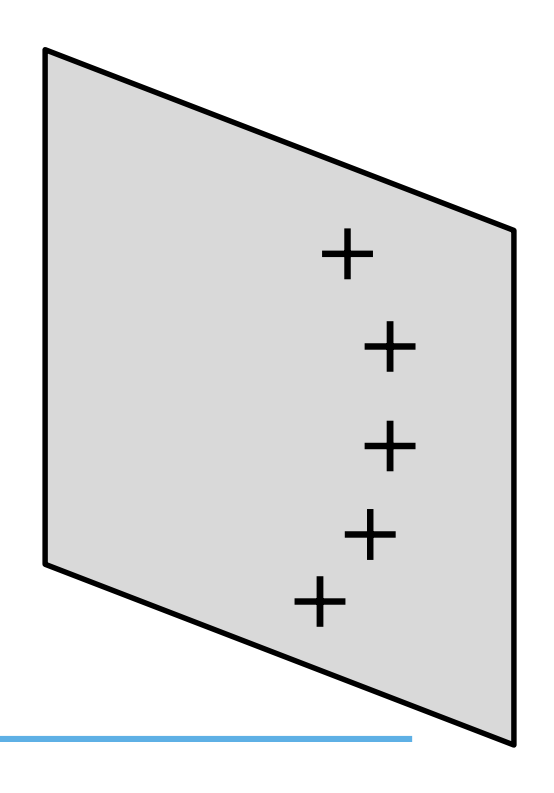
- Cible suivie sur effecteur.
- Méthode axe par axe, identification axe avec arc de cercle.
- Variation d'une masse sur l'effecteur pour les paramètres élastiques





### Méthode CPA: Circle Point Analysis

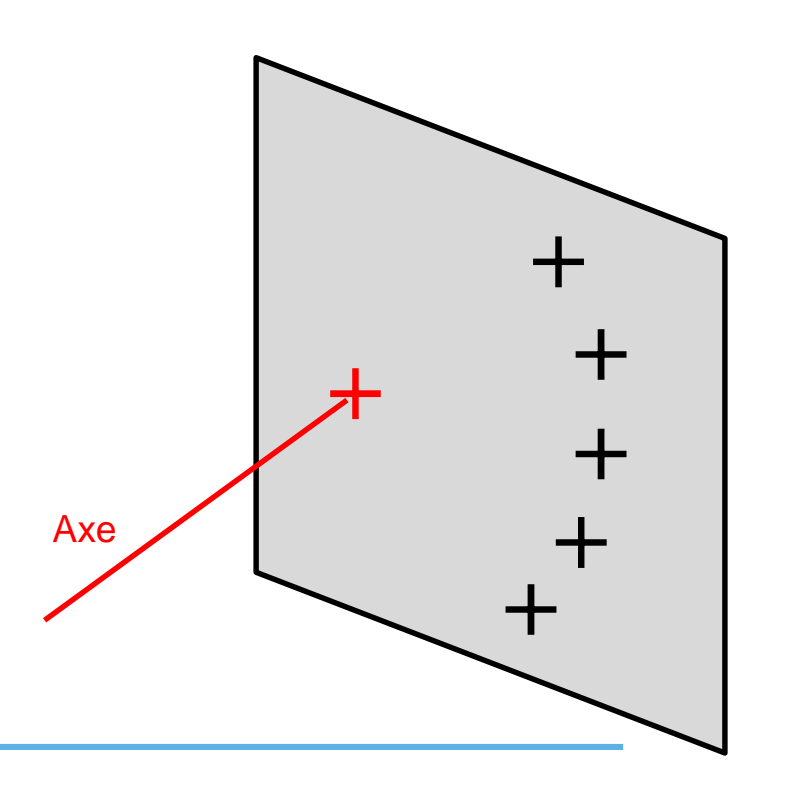
- Cible suivie sur effecteur.
- Méthode axe par axe, identification axe avec arc de cercle.
- Variation d'une masse sur l'effecteur pour les paramètres élastiques

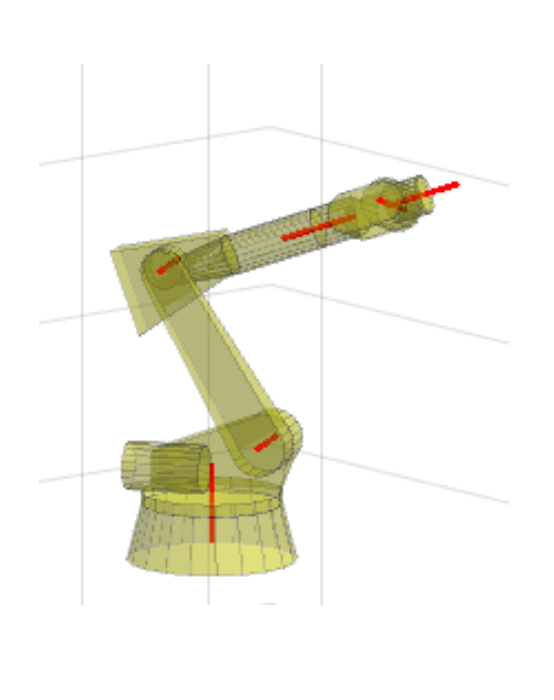




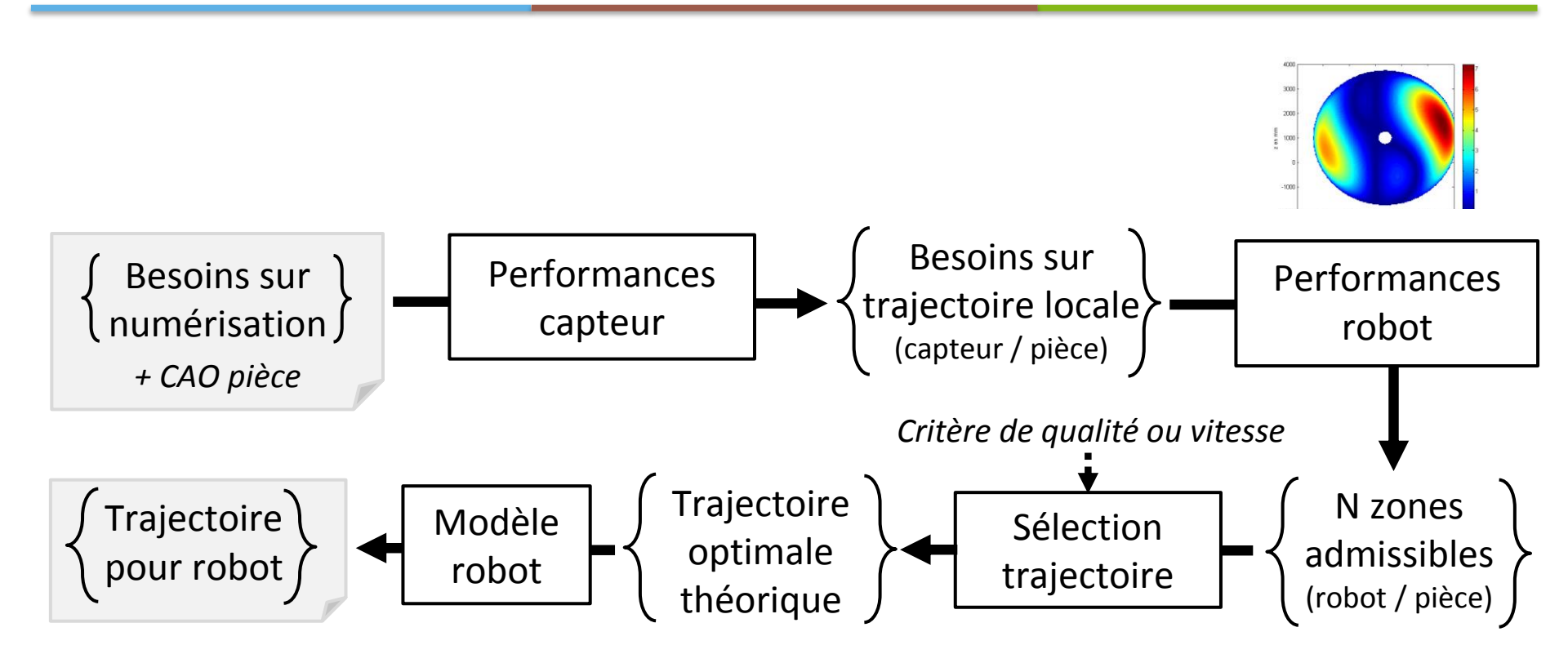
### Méthode CPA: Circle Point Analysis

- Cible suivie sur effecteur.
- Méthode axe par axe, identification axe avec arc de cercle.
- Variation d'une masse sur l'effecteur pour les paramètres élastiques





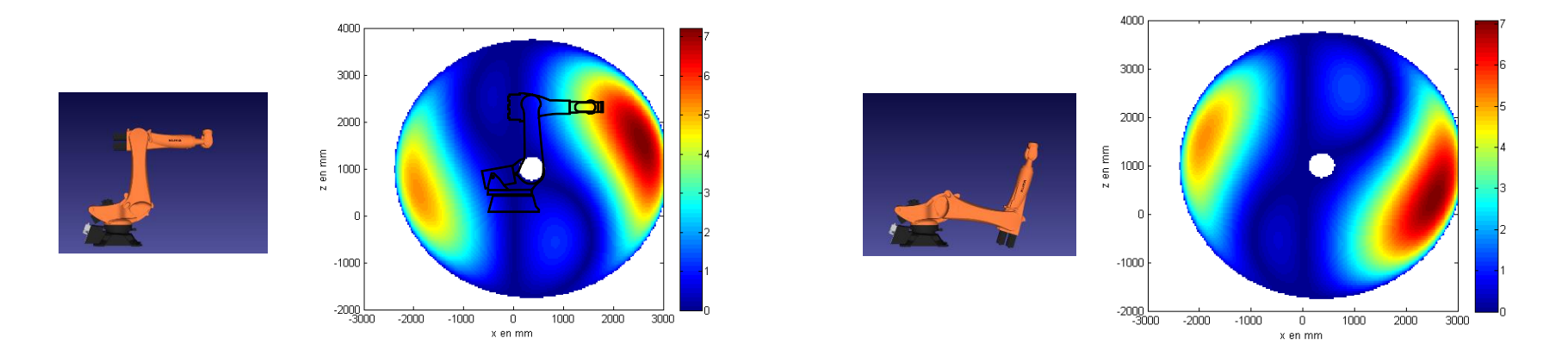






### Manipulabilité

#### □ [Yoshikawa 85] capacité du robot à générer de la vitesse



#### □ Dualité vitesse et résolution

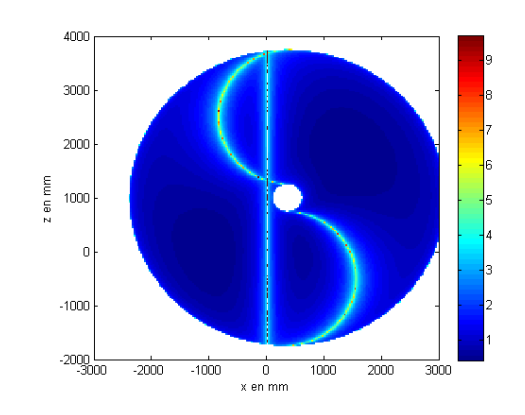
Avantage : mesure rapide (optimisation vitesse pour une résolution donnée)



### **Autres performances spatiales**

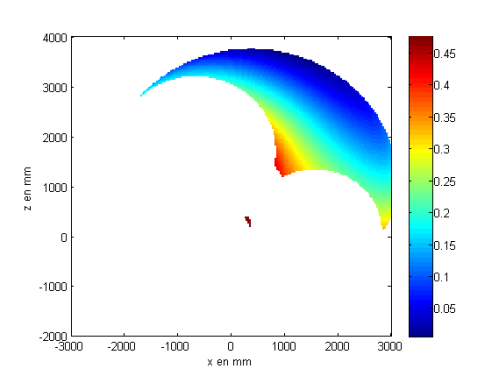
#### □ Condition Number [Angeles 92]





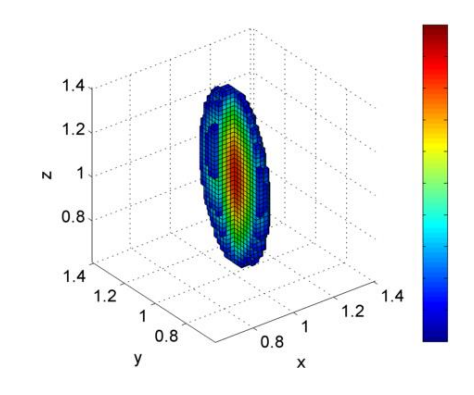
#### Disponibilité articulaire [Liegeois 77]



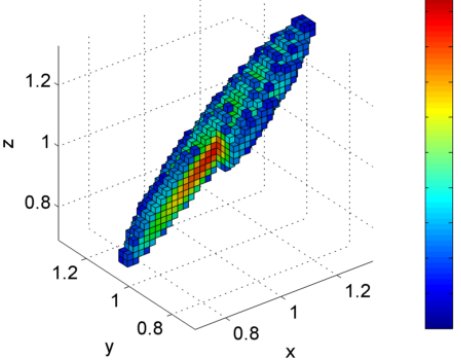


#### Modèle de répétabilité (basé sur [Brethé 06])











#### Conclusion

- □ Modélisation originale du robot :
  - approcher comportement réel du robot
- pour la génération finale de trajectoire et le calcul de certaines performances
- □ Indices de performance :
  - maitriser et exploiter les capacités du robot au maximum
- □ Stratégie de génération de trajectoire :
  - qualité de la trajectoire connue
  - numérisation 6ddl pièce large ou complexe



## Merci pour votre attention

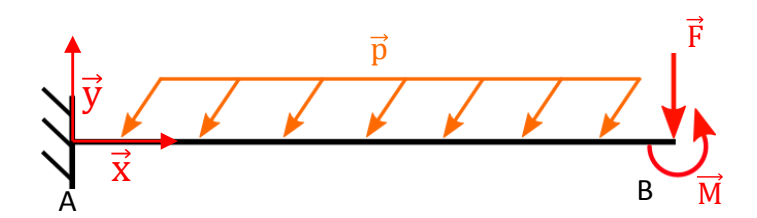


### **Annexe: modélisation segments**

3 paramètres géométriques tirés de la modélisation DH modifiée : d, r, a

5 paramètres élastiques tirés de la théorie des poutres :  $K_t$ ,  $K_h$ ,  $K_{fy}$ ,  $K_{fz}$ ,  $K_c$ 

#### Masse du segment m



$$\begin{bmatrix} x \\ y \\ z \\ u \\ v \end{bmatrix}_{seqVirt} = K_{seg} \cdot [F_x \quad F_y \quad F_z \quad M_x \quad M_y \quad M_z \quad p_x \quad p_y \quad p_z]^T \longrightarrow T_{segmVirtuel}$$



#### Annexe: modélisation articulations

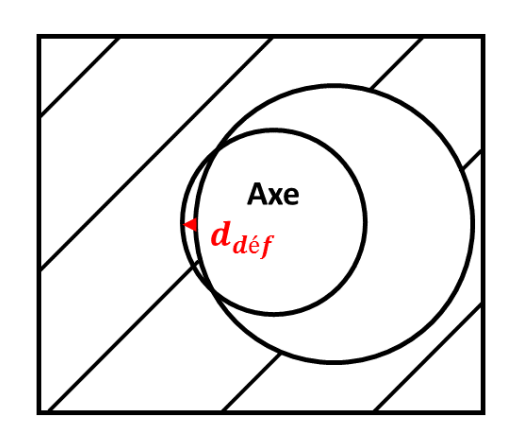
1 paramètre géométrique : Δθ

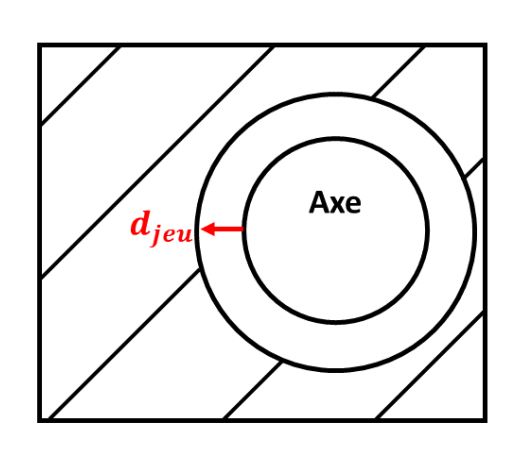
Coordonnées articulaire : θ

4 erreurs différentes : erreur de mouvement radial dr, erreur de mouvement axial dx, erreur de mouvement d'inclinaison  $\delta r$ , erreur de positionnement angulaire  $\delta x$ 

Suivant ces 4 erreurs : déformation élastique et jeu

 $erreur = signe(F).d_{jeu} + F.d_{déf}$ 

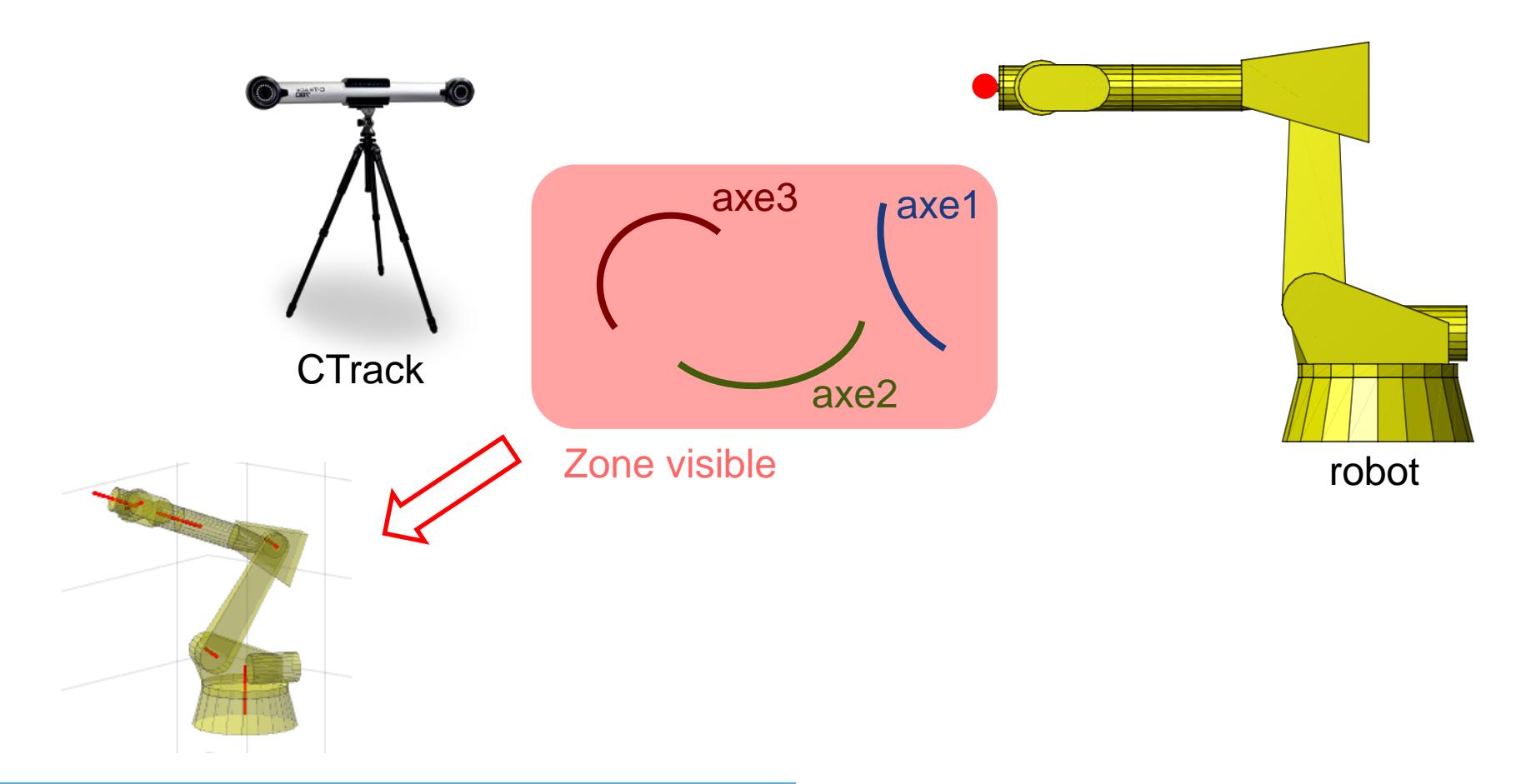






#### Annexe: méthodes d'identification locale

Position de l'effecteur dans une scène limitée (Ctrack immobile)





### Annexe: méthodes d'identification globale

Position et orientation de l'effecteur dans des scènes (Ctrack mobile)

